

京都大学工学部 正会員 末石富太郎、住友恒、山田豊実  
鹿島建設 “ ○伊藤寛男

## 1. はじめに

昨年度発表の(そのI)<sup>1)</sup>、(そのII)<sup>2)</sup>にも記したように、強混合型、弱混合型とのいずれかに分類した感潮河川の汚濁解析法は数少なくない。ここでは副題にも示すように、混合型が干潮期を通じて複雑に変化する場合の汚濁解析法の実用化を主たる目的としてさらに検討を加える。既発表解析法の理論的位置づけを明確にするとともに、新たに鉛直方向の水量水質混合を考慮して、解析法のより普遍化をはかる。

## 2. 理論的考察

原則として、次式に示すような弱混合型の水量水質收支条件から考察をはじめる。

$$\left. \begin{aligned} \frac{\partial h_i}{\partial t} + \frac{\partial Q_i}{\partial x} &= (-1)^i (q'_1 - q'_2) + (2-i) q'_0 \\ \frac{\partial(h_i C_i)}{\partial t} + \frac{\partial(Q_i C_i)}{\partial x} &= (-1)^i (q'_1 C_1 - q'_2 C_2) + (2-i) q'_0 C_0 \end{aligned} \right\} \quad \cdots \cdots (1) \quad (i=1, 2)$$

ここで、 $h$ は水深、 $Q$ は流量、各 $q'$ は図-1に示すようにサフィックス1、2で表わされる上層、下層の交換水量および放流水量、 $C_0$ は $q'_0$ の水質である。(各 $q'$ は $x$ の関数)

式(1)を差分表示すれば、たとえば $i=1$ (上層)については次式のようにも表わしうる。

$$\left. \begin{aligned} f_1(x, t) &= f_1(x-\Delta x, t) + (q_2 - q_1 + q_0) - [V_1(x, t+\Delta t) - V_1(x, t)] \\ V_1(x, t+\Delta t) \cdot C_1(x, t+\Delta t) &= V_1(x, t) \cdot C_1(x, t) + [q_2 \cdot C_2(x, t+\Delta t) - q_1 \cdot C_1(x, t+\Delta t) + q_0 \cdot C_0] \\ &\quad - [f_1(x, t) \cdot C_1(x, t) - f_1(x-\Delta x, t) \cdot C_1(x-\Delta x, t)] \end{aligned} \right\} \quad \cdots \cdots (2) \quad (i=2 \text{ についても同様})$$

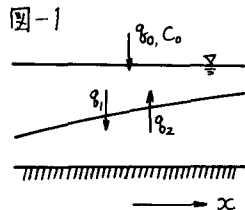
なお、ここで、 $f = \Delta t \cdot Q$ 、 $V = \Delta x \cdot h$ 、 $q = q' \Delta x \cdot \Delta t$ で、下層についても同様の式をえる。

さて、式(2)第1式より次式をえる。

$$\left. \begin{aligned} f_1(x, t) &= f_0 + \sum_{x=\Delta x}^{x=n\Delta x} (q_2(x) - q_1(x) + q_0(x)) - \sum_{x=\Delta x}^{x=n\Delta x} \Delta V_1(x) \\ f_1(x-\Delta x, t) &= f_0 + \sum_{x=\Delta x}^{x=(n-1)\Delta x} (q_2(x) - q_1(x) + q_0(x)) - \sum_{x=\Delta x}^{x=(n-1)\Delta x} \Delta V_1(x) \end{aligned} \right\} \quad \cdots \cdots (3) \quad (i=2 \text{ についても同様})$$

ただし、 $\Delta V_1 = V_1(x, t+\Delta t) - V_1(x, t)$ 、 $f_0 = \Delta x \cdot Q_0$ 、 $Q_0$ は $x=0$ における流量

解法としては、各 $V_i(x)$ 、各 $q_i(x)$ 、 $Q_0$ および初期・境界条件を与えて、式(2)で数値計算すればよい。しかし、有機汚濁などを対象とする場合、 $q_i(x)$ 、 $C_0(x)$ の精度は一般に低い。その精度を考慮して、式(3)が近似的に式(2)第2式と共存しうる限りでは、これら両式で解く方が解法はきわめて容易となり実用的となる。なお、上記の $i=1$ と $i=2$ を表わし、河川を $i=1$ のみで表わし、 $q_1 = q_2 = 0$ とする場合、これはKetchumのSegment法に相当する。つまに $i=1$ 、および $i=2$ を表わし、 $q_1 = q_2 = 0$ とする場合、前報(そのI)に相当する。この場合、くさびの消長をくさび発生率 $r$ として与えるのが特徴である。



$\tau = 3$ で、式(2)における $V$ 値に対し、式(3)の $\gamma$ 値、特に $\sum \Delta V$ 値が大きい場合、式(3)を式(2)第2式に直接代入することには無理が生じ、両式は同時に成立しない。いいかえれば、両式が同時に成立するためには当然 $\Delta t$ に制約がある。このような場合、前報(そのI)の $\gamma = 0$ として干潮から満潮に達する期間をとり、 $\Delta t = 6$ 時間とするることはできない。したがって $\Delta t$ としてさらに小さい値を取り必要がある。この場合、各時間単位ごとに $r$ を決定するこことが容易でなくなり、新たな問題となる。特に、弱混合型が強混合型に変化する場合など、理論的に $r$ を決定することは不可能となる。

### 3. 実用化のための一つの試み

上記問題点に対し、一つの試みとして、各時間単位の $r$ 値が干潮時の $r$ 値と満潮時の $r$ 値とから時間に直線的に比例して変化するものとみなしてみた。かつ、 $g_1 = g_2 = 0$ を考慮することによってくさびの消長を表示しうる点に注目し、新たに $\gamma$ 値を採用することとした。すなわち、 $\gamma$ 値として大きい値をとれば、上層と下層の水質値に差がなくなり、実質的にくさびの存在がなくなり、強混合型への変化をも表現しうる。ただ、この $\gamma$ 値をいかに決定するかについては、今後さらに検討をする。一例として、大阪府下大川におけるBOD値の時間変化を上記方法で解析した結果、図-2を得た。Input dataの詳細については省略するが、前報(そのI)の解析結果に対比して、時間的な変化がより詳しく得られているのが特徴といえよう。

### 4. くさび発生率 $\gamma$ の時間変化に関する検討

上記方法では、 $r$ が時間に比例して直線的に変化するものとみなしている。この近似取扱いの妥当性を検討するために、前報(そのII)に示した弱混合型の基礎式①、②を用いて、 $h_1$ 、 $h_2$ の時間的な変化を算定してみた。上層、下層における流速、水深の変化をそれぞれ特性曲線法にて算出し、ある地点での $h_1$ 、 $h_2$ の時間的変化(図-3)から $r$ の時間的変化を求めた一例が図-4である。今後さらに種々の条件下での検討を必要とするが、ミニマムはひとまず定性的にではあるが上記の近似がほぼ妥当なものであることを認めた。

### 5. おわりに

以上、簡単に記したので、特に3.、4.など、読者にとって不明確な点を多く残してはいるが、要は、BODなど有機汚染の解析に当っては、流入汚水量、同質の精度などから式(3)の適用が比較的有効であること、および、3.に示した取り扱いが実用上有効であることを示した。なお、図-2の算出にあたっては、式(2)の $C(x,t)$ に与えられた $\gamma$ を考慮したこと、および $\gamma$ について $h_2$ に比例する値として取り扱ったことを付言しておく。

### 参考文献

- 1) 住友ほか、『緩混合型の感潮河川における汚濁の解析(そのI)』、本講演会、第26回、第2部、昭和46年
- 2) 末石、住友、伊藤、『同上(そのII)』、同上

